

# مطالعه ظرفیت باربری و میزان نشست زمین‌های خاور و جنوب خاور تهران

فریدون رضانی\* و محمد حیوضی\*

\*پژوهشکده علوم زمین، سازمان زمین‌شناسی و اکتشافات معدنی کشور، تهران، ایران

آزمایشگاه مکانیک خاک وزارت راه و ترابری، تهران، ایران

تاریخ دریافت: ۱۳۸۶/۰۶/۲۱ تاریخ پذیرش: ۱۳۸۷/۰۱/۱۷

## چکیده

شهر تهران بر روی نهشته‌های آبرفتی جوان بنا شده و گسترش سریع شهرنشینی سبب پوشیده شدن نهشته‌های کوتزنی شده است. افزایش شهرنشینی بدون رعایت مسائل زمین‌شناسی و ژئوتکنیکی مشکلات فنی، مهندسی و اقتصادی زیادی را در پی داشته است. از آنجا که تکیه‌گاه همه سازه‌ها بر روی زمین است، بررسی و شناخت ویژگی‌های فیزیکی و مکانیکی لایه‌های خاک امری ضروری است. تعیین پارامترهای مقاومتی و تیوه نقشه ژئوتکنیک محدوده مورد مطالعه امکان مناسبی برای مطالعات مقدماتی پروژه‌های عمرانی خواهد بود و به مهندسان و طراحان دید کلی از وضعیت ژئوتکنیک منطقه می‌دهد. تاکنون مسائل ژئوتکنیکی و زمین‌شناسی مهندسی در شهرهای ایران به صورت دقیق مورد بررسی قرار نگرفته، اما در برخی از کشورهای دنیا، نقشه‌های زمین‌شناسی مهندسی و ژئوتکنیکی شهری ارائه شده که از نظر اقتصادی، مدیریتی، محیط زیست، سامانه‌دهی، طراحی و توسعه شهری بسیار مفید بوده است. نقشه‌های پهنه‌بندی ظرفیت باربری، نشت، روانگرایی، پارامترهای مهندسی خاک و مقاطع زمین‌شناسی با استفاده از اطلاعات گمنامی در مناطق مختلف جهان در جهت اهداف شهرسازی راه سازی، فضاهای زیرزمینی و غیره تهیه می‌شود. تحقیق حاضر در راستای تحقق این امر به بررسی و تعیین پهنه‌بندی ژئوتکنیک منطقه و ارائه مشخصات و پارامترهای مقاومتی و تعیین ظرفیت باربری مجاز و میزان نشت برای تعیین نوع سازه با توجه به مقاومت زمین و یا تقویت زمین برای اعمال بارهای بیش از مقاومت مجاز به دست آمده و میزان نشت تعیین شده و همچنین طراحی بی سازه با توجه به نتایج به جنس لایه‌های تشکیل‌دهنده زمین در ژرفای مختلف، در زمین‌های خاور و جنوب خاور تهران در محدوده برگ ۱؛ ۲۵۰۰۰ تا ۱؛ ۲۵۰۰۰ پهنه‌های شناسایی شده است. پهنه‌های ۱-۳ از مقاومت متوسط ( $q_{a8} < 2$ ) خوب ( $q_{a8} < 3$ ) و پهنه ۴ از مقاومت بسیار ضعیف ( $q_{a8} < 1$ ) تا ضعیف ( $q_{a8} < 0$ ) تا خوب ( $q_{a8} < 2$ ) پرخوردار است. در شمال منطقه مصالح تشکیل‌دهنده از مقاومت ضعیف ( $q_{a8} < 1$ ) تا متوسط ( $q_{a8} < 2$ ) و پهنه ۵ از مقاومت بسیار ضعیف ( $q_{a8} < 1$ ) تا ضعیف ( $q_{a8} < 0$ ) تا خوب ( $q_{a8} < 2$ ) پرخوردار است. در شمال منطقه مصالح تشکیل‌دهنده آبرفت به طور حدده درشت‌دانه و به تدریج به سمت جنوب ریزتر می‌شوند و با افزایش ژرفای می‌یابد (Rezaei et al., 2007). چگالی (دانسته) خاک از شمال به جنوب به علت تغییر تدریجی از شن و ماسه به رس کاهش یافته و با افزایش ژرفای به علت تراکم بیشتر خاک، افزایش می‌یابد. میزان نشت آنها، با افزایش ژرفای به علت تراکم بیشتر، کاهش یافته است. در مقایسه نتایج مطالعات گذشته با مطالعات فعلی مشاهده شد که در ژرفای نزدیک به سطح زمین (۰-۵۰) میزان ظرفیت باربری در مطالعات فعلی کمی بیشتر و میزان نشت کمی کمتر از مطالعات گذشته است ولی در ژرفای پایین، تغییر قابل ملاحظه‌ای مشاهده نشد. به نظر می‌رسد علت افزایش ظرفیت باربری و کاهش میزان نشت در ژرفای سطحی متأثر از افزایش و تراکم سازه‌ها و افزایش ترافیک در طی سال‌های اخیر باشد. با افزایش ژرفای از اثر بارهای اعمال شده کاسته شده و به تدریج مستحکم شده است. میزان مقاومت و نشت هر پهنه در طراحی سازه و انتخاب نوع بی و ژرفای استقرار آن نقش بسزایی دارد.

## کلیدواژه‌ها: پهنه‌بندی، ظرفیت باربری، نشت، پارامترهای مقاومتی

\*نویسنده مسئول: فریدون رضانی

## ۱- مقدمه

سازه و تعیین نوع و ژرفای استقرار بی و در صورت لزوم تقویت زمین برای اعمال بارهای بیش از مقاومت مجاز به دست آمده و میزان نشت تعیین شده ارائه شده است.

### ۲- روش و مراحل انجام تحقیق

#### ۲-۱. جمع آوری اطلاعات

در نقاط مختلف منطقه برای پروژه‌های عمرانی اعم از ساختمان‌های مسکونی، تجاری، تغییری، رامسازی، پل‌سازی، کانال‌های فاضلاب، ترمیثال، راه‌آهن و ... مطالعات ژئوتکنیک انجام شده و اطلاعات آنها در شرکت‌ها و مؤسسات دولتی و خصوصی موجود است. این اطلاعات از منابع موجود از جمله شرکت آب و فاضلاب، سازمان آتش‌نشانی، راه‌آهن، شرکت ییمه و آزمایشگاه فنی و مکانیک خاک استان تهران جمع آوری شد. تعداد ۵۱ گمانه به ژرفای ۱۰-۱۱۰ متر به روش دستی و ضربه‌ای حفاری شده است که بیش از ۶۴۰۰ آزمایش صحرایی (چگالی، SPT، نفوذپذیری و...) و آزمایشگاهی (دانه‌بندی، هیدرومتری، حدود اتربرگ، برش مستقیم، صمغوری، تکمحوری و...) صورت گرفته است (گزارش تحقیقات و مطالعات مکانیک خاک و ژئوتکنیک، ۱۳۸۶، ۱۳۷۹).

از آنجا که تکیه‌گاه همه سازه‌ها بر روی زمین قرار گرفته و در ارتباط مستقیم با آن است، مطالعه لایه‌های زمین و محل قرارگیری تکیه‌گاه‌ها از نظر مقاومت و نشت یک امر ضروری و اجتناب‌ناپذیر است. با گسترش و توسعه شهرنشینی و نیاز استفاده از سازه‌های سنگین و بلند مرتبه، پل‌ها، بزرگراه‌ها، دکلهای برق، سایه سوخت و آب، خطوط راه آمن، فضاهای زیرزمینی مانند: مترو، تونل‌های فاضلاب، لوله کشی گاز و آب، همچنین سازه‌هایی که از حساسیت بالایی برخوردارند، ضرورت این نوع مطالعات دو چندان می‌شود. توسعه شهری بدون رعایت مسائل ژئوتکنیک مشکلات فنی، مهندسی و اقتصادی فراوانی را به همراه دارد. ریزش و ترک خوردگی بعضی از سازه‌ها در اثر نشت غیر یکنواخت، باعث عدم کارایی سازه می‌شود. تهیه نقشه‌های زمین‌شناسی مهندسی و ژئوتکنیکی شهری به منظور بهره‌برداری در امور اقتصادی، مدیریتی، طراحی و توسعه شهری، نقش مؤثری خواهد داشت. برای رسیدن به اهداف بالا، اطلاعات و داده‌های مربوط به ژئوتکنیک منطقه خاور و جنوب خاور تهران در محدوده برگ ۱؛ ۲۵۰۰۰ (شکل ۱)، جمع آوری شده و مطالعات تکمیلی صورت گرفته است. با توجه به جنس لایه‌های تشکیل‌دهنده و پارامترهای مقاومتی زمین، پهنه‌بندی ظرفیت باربری مجاز و میزان نشت، جهت طراحی

ظرفیت بازیری، C و φ پارامترهای مقاومتی،  $\beta$  چگال‌تر است و بر اساس رابطه ۱ ظرفیت بازیری برای پنهنه‌های مختلف در زرقای ۲-۵ متری و ۵-۱۰ متری محاسبه و در (شکل‌های ۲۳ و ۲۴) و (جدول‌های ۱۱ تا ۱۲) ارائه شده است (Das, 1994; Bowles, 1988).

۳-۴. پیوندی نشست

نشست تابعی از ویزگی های خاک، شکل شالوده، زرقاء، قرار گیری شالوده، بار وارد به بی، مدت زمان اعمال بار به خاک و ... است. به طور معمول محققان ژنو تکنیک با آزمون های تحکیم، پارامترهای فشردگی خاک را محاسبه و از آن برای تخمين نشست خاک استفاده می شود. لذا این طریق می توان نقشه های پرآورده، استعداد و قابلیت نشست نهشته ها را در اثر اعمال بار، تعیین کرد. نشست خاک به دو صورت انجام می شود:

- نشست آنی: نشت آنی ناشی از تغییر شکل الاستیک خاک بدون آن که عمل زمینکشی در آن اتفاق افاده است. محاسبات نشت آنی به طور معمول برایه روابط به دست آمده از تئوری الاستیستیت قرار دارد. نشت آنی یک شالوده بلا فاصله بعد از اعمال بار، بدون تغییری در میزان رطوبت به دست می‌آید. میزان نشت آنی بستگی به انعطاف پذیری شالوده و نوع مصالح بی دارد. اگر شالوده انعطاف پذیر باشد، یا تحت بار نامترانه قرار گیرد، نشت متفاوتی خواهیم داشت. در این تحقیق شالوده صلب در نظر گرفته شده است (Das, 1994; Bowles, 1988).

نشست آنی در تمام خاک‌ها بجز خاک‌های ریزدانه که درصد اشباع آن بیش از ۹۰ درصد باشد محاسبه می‌شود. نشت آنی یک بی که تحت تنش متقارن قرار دارد از رابطه ۲ به دست می‌آید:

$$Si = q' B \frac{1-H^2}{H} I_1 I_2 \quad (2)$$

$$Si = q' B \frac{1-\mu^2}{E} I_o I_b \quad (4)$$

که در آن  $Si = q \cdot B$  نشست آنی (سانتی متر)،  $q =$  تنش خالص زیر شالوده  
 $B =$  بعد حداقل شالوده (متر)،  $q' =$  ضریب تأثیر شکل  
 $(جدول ۳)$ ،  $I =$  ضریب تأثیر ژرفا (جدول ۴)،  $E =$  ضریب الاستیتیه ( $kg/cm^2$ ) و  $E_0 =$   
 ضریب پواسون خاک است. (Rezaei et al., 2007) پارامترها الاستیتیک خاک E و  $E_0$  با  
 استفاده از آزمایش تک محوری و نیز با استفاده از تجارب گلشته بر حسب نوع خاک و  
 ارتباط آن با عده دغوز استاندارد (N) بدست آمده است. این ضرایب برای پهنه های مختلف  
 در جدول ۵ آرائه و براساس آن محاسبات نشست آنی برای ژرفای ۲-۵ متری برای پهنه های  
 مختلف محاسبه و در جدول ۶، لزانه شده است.

- نشست تحکیمی: نشست خاکهای چسبنده ریزدانه وابسته به زمان است وقتی که یک لایه خاک رسی اشاع، تحت تأثیر افزایش تنش قرار گیرد. ابتدا نشست آنی رخ می‌دهد، اما از آنجا که ضرب نفوذپذیری رس به طور قابل ملاحظه‌ای کوچک‌تر است، زهکشی آب حفره‌ای به مرعut انجام نشده و از بین رفن اضافه فشار آب حفره‌ای ناشی از بارگذاری به طور تدریجی و در یک زمان طولانی رخ می‌دهد. بنابراین کاهش حجم خاک به مدت طولانی بعد از بارگذاری و نشست آنی ادامه خواهد داشت در خاکهای رسی نرم نشست تحکیمی چندین بار برقرار نشست آنی است.

- محاسبات نشت تحقیمی: در محدوده پهنه ۶ که طبقبندی خاک آن از نوع ML-ML، CL، CL، ML و CH بوده و درصد اشایع آن ۱۰۰-۷۸ درصد است، محاسبه نشت تحقیمی انجام شده است (Rezaei et al., 2007). برای محاسبه نشت

$$Se = \frac{\Delta e}{1+e} H \quad (2)$$

میزان نشست تحرکی (cm) و  $\Delta e$  تفاضل تخلخل اولیه و ثانویه و H سبزای لایه زیر شالوده (cm) است که در صورت بارگذاری تحکیم روی آن انجام می‌شود. e تخلخل اولیه خاک است که پیش از اعمال بارگذاره در خاک وجود داشته که از p متناظر آن به دست می‌آید و  $e = h \cdot \gamma$  که در آن  $\gamma$  چگالاتر و h سبزای خاک روی شالوده (m) است (Das, 1994; Bowles, 1988).

۲-۲. تکمیل داده‌ها

برای کنترل و تکمیل داده‌ها در ۴ نقطه از مسیر تونل فاضلاب خاور شهر تهران و در بلوار ابوزد در محل احداث ساختمان‌های مسکونی شرکت تعاونی تاکسیرانی در زرفقای ۱، ۵-۱۰ و ۱۵-۲۰-امتری در حین عملیات حفاری آزمایشات صحرائی جون چگالی و SPT انجام شد و نمونه‌گیری برای انجام آزمایشات آزمایشگاهی (دانه‌بندی، آب‌سنگی (هیدرومتری)، حدود اتریگ، برش مستقیم و تعیین درصد رطوبت) صورت گرفت. نمونه‌های اخذ شده در آزمایشگاه مورد آزمایش و پارامترهای مقاومت خاک مثل، C<sub>f</sub> و ضرایب پواسون (E<sub>r</sub>) و الاستیسیته (E) به دست آمده است (Rezaei et al., 2007).

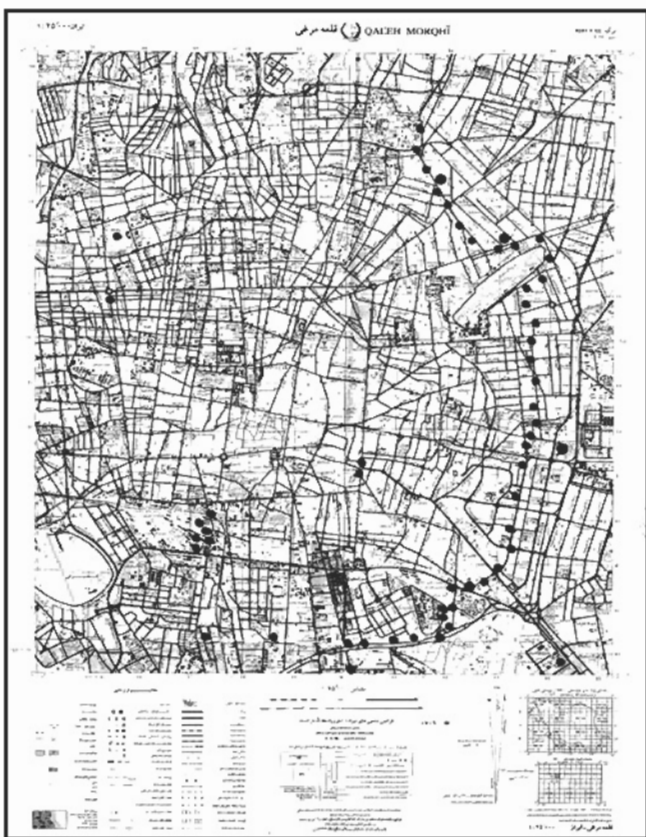
۲-۳. برسی و تحلیل داده‌ها

محل حفر گمانه‌ها در روی نقشه مشخص و ویژگی‌های هر یک از نظر مقاطع زمین‌شناسی (وجود خاک دستی، جنس و سترای لایه‌ها و....)، سطح آب زیرزمینی، ویژگی‌های فیزیکی و مکانیکی لایه‌های خاک (دانه‌بندی، حدود روانی و خمیری)، آزمایش‌های تراکم و پارامترهای مقاومت برش خاک ، CU ، CD ، UU و آزمایش تک محوری)، آزمایش ضربه و نفوذ استاندارد (SPT) به منظور ارزیابی تراکم نسی (Dr.) و قوام خاک‌ها، نفوذپذیری و... مورد بررسی قرار گرفت. و با داشتن پارامترهای به دست آمده از آزمایشات اعم از آزمایشگاهی و صحرابی ظرفیت باربری و میزان نشت در ژرفای ۵-۱۰ متری محاسبه شد، و نطاقي که دارای ظرفیت باربری و میزان نشت به نسبت یکسانی داشته با در نظر گرفتن کران بالا و پایین مقادیر به دست آمده، به عنوان یک پنهان مشخص شده است (Rezaei et al., 2007). پس از جمع آوری اطلاعات ژئوتکنیک موجود در بایگانی شرکت‌ها و مؤسسات خصوصی و دولتی که مربوط به سال‌های گذشته بود (۱۳۸۰-۸۱)، مطالعات دیگری برای بررسی، مقایسه و تکمیل نتایج، انجام شده است. در بررسی مطالعات گذشته و حاضر مشاهده شد که در ژرفای ۵-۱۰ متری ظرفیت باربری در مطالعات کوئنی بیشتر و میزان نشت کمتر از مطالعات سال‌های گذشته است. اما در ژرفای ۱۰-۱۵ متری در مقادیر ظرفیت باربری و میزان نشت تغییر قابل ملاحظه‌ای مشاهده نشد. علت افزایش ظرفیت باربری و کاهش نشت در مطالعات کوئنی متأثر از افزایش و تراکم سازه‌ها در سطح زمین و همچنین افزایش ترافیک در سال‌های اخیر است. تأثیر بار سازه و ترافیک در لایه‌های بالایی بیشتر بوده و با افزایش ژرفای بارهای اعمال شده کامسته و به تدریج مستهلك شده است و درین‌باره از این‌گونه تأثیرات می‌توان در این‌جا اشاره کرد. در این‌جا مطالعات رده‌بندی خاک نشان می‌دهد که در اندازه ذرات تشکیل دهنده زمین در زمان مطالعات پیشین و کوئنی تغییری ایجاد نشده است، اما با افزایش تراکم خاک، ذرات آن در یکدیگر فروخته و باعث افزایش  $\phi$  (زاویه اصطکاک داخلي) شده و از ظرفیت با افزایش  $\psi$  یا توجه به حضور و تأثیر مستقیم آن در فرمول ظرفیت باربری، باعث افزایش آن شده است. همچنین با افزایش تراکم، میزان نشت آن، کاهش یافته است.

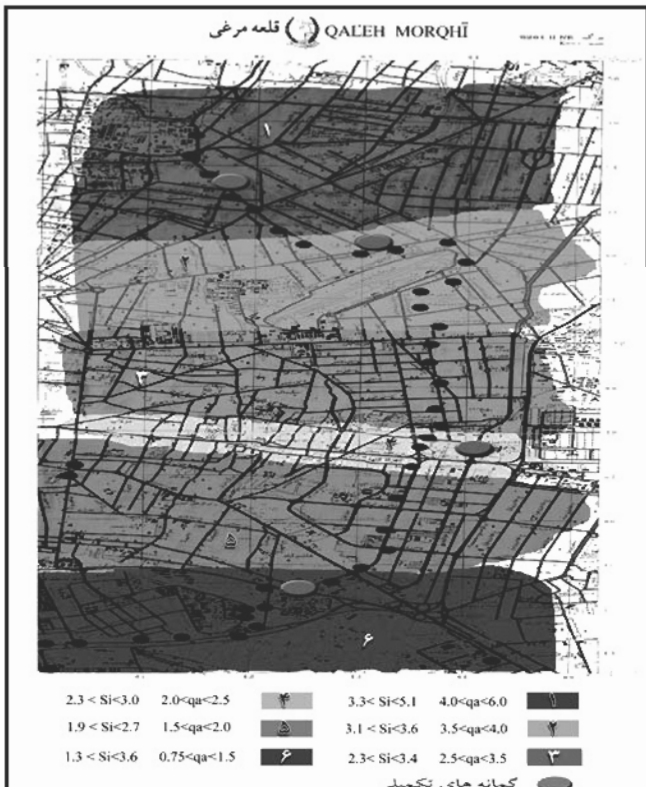
### ۳- پنهان‌بندی ظرفیت باربری و میزان نشست بوای پی‌های مختلف

به طور کلی شالوده سازه که پایین ترین قسمت یک ساختمان است و وظیفه آن انتقال بار از سازه به زمین است باید دارای دو ویژگی باشد: فشار حاصل از بار واردۀ از شالوده به خاک از مقاومت اینم خاک در برابر گستینشگی برشی یافته نباشد. نشستهای کلی و نسبی باید به اندازه‌ای محدود شود، که نشست شالوده منجر به خرابی یا عدم کارایی ساختمان نگردد. برای تعیین ظرفیت باربری از فرمول ارائه شده توسط Mierhof (1963) استفاده شده است:

$$q_u = C N_c \cdot F_{c,i} \cdot F_{d,i} + q N_d F_{q,i} F_{q,j} F_{q,k} \frac{1}{2} \gamma_2 B F_{p,i} F_{p,j} F_{p,k} \quad (1)$$



شکل-۱- موقعیت گمانه‌ها<sup>(۱)</sup> بر روی نقشه توپوگرافی ۱:۲۵۰۰۰ بروگ قله‌مرغی (منطقه خاور و جنوب خاور تهران) (Rezaei et al., 2007)



شکل-۲- پهنه‌بندی ظرفیت باربری و میزان نشت در منطقه خاور و جنوب خاور تهران در  
ژرفای ۰-۵ متری برای بی مسئتلی (Rezaei et al., 2007)

منتظر آن به دست می‌آید و  $p_1 = p_2 + I_{\text{ژرف}}$ ) که در آن  $I_{\text{ژرف}}$  تأثیر ژرفای بوده که از نمودار خطوط هم فشار (حباب تنش) (شکل ۵) برای شالوده مرتعی و نواری به دست آمده و  $I_{\text{ژرف}} = \text{ظرفیت باربری مجاز خاک} (\text{kg/cm}^2)$  است. خاک‌های زیرشالوده به لایه‌های دو متري تقسیم و میزان نشت هر لایه را در وسط آن لایه در ژرفای ۱، ۲، ۳، ۴ و ۵ متری محاسبه شده است و در نهایت نشت تحکیمی کل، از مجموع نشت لایه‌ها به دست آمده است. محدوده نشت تحکیمی برای بی مرتعی در ژرفای ۲-۵ متری ۱۷۵-۱۴۵ و برای بی نواری ۲۲-۲۹ میلی‌متر است که در جدول‌های ۸ و ۹ ارائه شده و در ژرفای ۱۰-۱۵ متری محدود نشت برای بی مرتعی ۱۵-۲۳ و برای بی نواری ۱۹-۲۴ میلی‌متر است (جدول‌های ۹ و ۱۰). (Rezaei et al., 2007)

### ۴- نتیجه‌گیری

- بررسی ویژگی‌های زمین‌شناسی مهندسی و ویژگی‌های ژئوتکنیکی و در نهایت پهنه‌بندی منطقه از نظر ظرفیت باربری و میزان نشت از اهداف این تحقیق است.

- منطقه مورد مطالعه به ۶ پهنه‌بندی تقسیم شده است.

- مصالح پهنه ۱ تا ۳ به طور عمده درشت‌دانه بوده و از نظر طبقه‌بندی بر اساس یونوفایاد از نوع  $\text{GW}$ ,  $\text{GP}$ ,  $\text{GC}$ ,  $\text{GM}$ ,  $\text{GP-GC}$ ,  $\text{GP-GM}$ ,  $\text{GP-GM}$ ,  $\text{SC-SM}$ ,  $\text{GC-GM}$ ,  $\text{SC}$  است. که ظرفیت باربری بی‌های مختلف از سمت شمال به جنوب بسیار خوب ( $q_a < 6$ ) خوب ( $q_a < 4$ ) تا متوسط ( $q_a < 2$ ) است. میزان نشت آنی آن ( $Si < 5.1$ ) میلی‌متر برآورد شده است.

- مصالح پهنه ۴ و ۵ بیشتر از نوع  $\text{SC}$ ,  $\text{SC-SM}$ ,  $\text{GC-GM}$ ,  $\text{SC}$ ,  $\text{GC-GM}$ ,  $\text{SC}$  است که ظرفیت باربری آن از شمال به جنوب ( $q_a < 4$ ) متوسط ( $q_a < 3$ ) تا ضعیف ( $q_a < 2$ ) است. میزان نشت آنی آن ( $Si < 3.6$ ) میلی‌متر است.

- مصالح پهنه ۶ به طور عمده از نوع  $\text{CL}$ ,  $\text{ML}$ ,  $\text{CL-ML}$ ,  $\text{ML}$  است که ظرفیت باربری آن بسیار ضعیف ( $q_a < 0$ ) تا ضعیف ( $q_a < 1$ ) است. و مجموع نشت آنی و تحکیمی آن ( $Si+Se < 37$ ) میلی‌متر است.

- به کارگیری و استفاده از اطلاعات باقیمانده پهنه‌بندی ژئوتکنیک باعث صرفه جویی در هزینه مطالعات ژئوتکنیک آینده می‌شود.

- در شمال منطقه مصالح تشکیل دهنده آبرفت بیشتر درشت‌دانه و به تدریج به سمت جنوب ریزتر می‌شوند.

- با افزایش ژرفای میزان مقاومت خاک افزایش می‌یابد.

- سطح آب زیرزمینی در جنوب منطقه حدود ۱۵ متر است در صورتی که در شمال آن با خواری گمانه‌های یا ژرفای ۲۰-۳۰ متر به سطح آب زیرزمینی برخورد نشده است.

- چگالی خاک از شمال به جنوب به علت تغییر تدریجی از شن ماسه به رس کاهش یافته و با افزایش ژرفای به علت تراکم بیشتر خاک، افزایش می‌یابد.

- چسبندگی خاک از جنوب به شمال کاهش یافته به طوری که در پهنه شمالی میزان آن به صفر رسیده است.

- مدل پواسون افزایش یافته است. ضربیت پواسون افزایش یافته و مقدار ضربیت پواسون افزایش یافته است.

- میزان نشت آنی با افزایش ژرفای به علت تراکم بیشتر، کاهش یافته است.

- در پهنه‌های ضعیف تا بسیار ضعیف، طراحی سازه‌ها و استفاده از بی مناسب نیاز بر برسی دقیق تری دارد تا در آینده سازه‌ها دچار مشکل نشود.

شکل-۳- پهنه‌بندی ظرفیت باربری و میزان نشت در منطقه خاور و جنوب خاور تهران در  
ژرفای ۰-۵ متری برای بی مستطبی (Rezaei et al., 2007)

جدول ۱- پنهانی ظرفیت باربری برای بیهوده‌های مختلف در ژرفای ۵-۲ متری

نوع		۹	۸	۷	۶	۵	۴
پارامترهای مقاومتی در زیرقای ۲-۵ متری	C=۰/۱۰-۰/۳	C=۰/۱۰-۰/۲۵	C=۰/۰۵-۰/۱	C=۰-۰/۰۵	C=۰/۰۳	C=۰	
	□-۱۰-۱۲	□-۱۹-۱۸	□-۷۵-۷۷	□-۳۱-۳۲	□-۳۴-۳۷	□-۳۸-۴۲	
	$\gamma(wet)=1/7$	$\gamma(wet)=1/8$	$\gamma(wet)=1/8.5$	$\gamma(wet)=1/9.5$	$\gamma(wet)=2/11$	$\gamma(wet)=2/12$	
حدود ظرفیت بازرسی برآمدهای مختلف در زیرقای ۵-۱۰ متری	(B/L)=1/2 مستabilی	-۰/۷۵-۱/۰	۱/۰-۲/۰	۲/۰-۲/۵	۲/۰-۳/۵	۳/۰-۱/۰	۱/۰-۱/۰
	(B/L)=1 مرتعی	-۰/۷۵-۱/۰	۱/۰-۲/۰	۲/۰-۲/۵	۲/۰-۳/۰	۳/۰-۳/۰	۳/۰-۳/۰
	(B/L)≈0 نولری	-۰/۷۵-۱/۰	۱/۰-۱/۰	۱/۰-۲/۰	۱/۰-۲/۰	۱/۰-۲/۰	۱/۰-۲/۰

جدول ۲- پیشنهادی ظرفیت باربری پرای یو، های مختلف در فرای ۱۰-۵ متری

نوع		۶	۵	۴	۳	۲	۱
پارامترهای مقاومتی در زوایای $5-10^{\circ}$ متری	(B/L)= $1/2$	$C_{-/-}^{+/-} \dots C_{-/-}^{+/-}$	$C_{-/-}^{+/-} \dots A_{-/-}^{+/-}$	$C_{-/-}^{+/-} \dots A_{-/-}^{+/-}$	$C_{-/-}^{+/-} \dots A_{-/-}^{+/-}$	$C_{-/-}^{+/-}$	$C_{-/-}^{+/-}$
	(B/L)= $1$	$\square_{-/-}^{+/-} \dots \square_{-/-}^{+/-}$					
	$\gamma(wet)=1/A$	$\gamma(wet)=1/A$	$\gamma(wet)=1/A$	$\gamma(wet)=1/A$	$\gamma(wet)=1/A$	$\gamma(wet)=1/A$	$\gamma(wet)=1/A$
حدود ظرفیت برای پیچهای محفظه بازبری در زوایای $5-10^{\circ}$ متری	مستطیلی $1/2$	$1/0-1/5$	$1/5-2/0$	$2/1-3/0$	$2/1-3/0$	$2/1-3/0$	$2/1-3/0$
	(B/L)= $1$	$1/5-2/0$	$2/1-2/0$	$2/5-3/0$	$2/5-3/0$	$2/1-3/0$	$2/1-3/0$
	(B/L) $\approx 0$	$1/0-1/5$	$1/5-2/0$	$2/1-2/0$	$2/3-2/0$	$2/1-2/0$	$2/1-2/0$

جدول ۴- تعبیر ضرب اصلاح‌زرفی شالوده، حسب (L/B) (ID) (Das, 1994; Bowles, 1988)

جدول ٣- تعین ضرب شکار اسامی صلبت و انعطاف بدموی ( ۱ و ۱ )

(Das, 1994; Bowles, 1988)

L/B = .1	1	2	3	4	5	6	7
D/B = .1	1	1	1	1	1	1	1
.10	.100	.14	.194	.190	.197	.188	.188
1	.117	.118	.119	.118	.119	.117	.117
5	.100	.101	.104	.107	.107	.101	.101
10	.107	.107	.108	.107	.109	.107	.107

(Rezaci et al., 2007) ۱-۲ مقادیر ایجاد شده

شكل	شالوده انعطاف پذیر			شالوده صلب	
	مرکز	گوش	میانگین	$I_w$	$I_m$
دایره	۱	(ل) $\cdot ۰/۶۸$	$\cdot ۰/۸۵$	$\cdot ۰/۸۸$	۹
مربع	$۱/۱۲$	$\cdot ۰/۵۶$	$\cdot ۰/۹۵$	$\cdot ۰/۸۲$	$۴/۷$
مستطيل					
$L/B = ۰/۲$	-	-	-	-	$۲/۲۹$
۰/۰	-	-	-	-	$۳/۳۳$
۱/۰	$۱/۳۶$	$\cdot ۰/۶۸$	$۱/۱۵$	$۱/۰۶$	$۴/۱۲$
۲	$۱/۵۳$	$\cdot ۰/۷۷$	$۱/۳$	$۱/۲$	$۴/۳۸$
۵	$۲/۱$	$۱/۰۵$	$۱/۸۳$	$۱/۷$	$۴/۸۲$
۱۰	$۲/۰۴$	$۱/۲۷$	$۲/۷۵$	$۲/۱$	$۴/۹۳$
۱۰۰	$۴/۰۱$	۲	$۴/۹۹$	$۴/۴$	$۵/۰۹$

$\mu = 1/1 \rightarrow 1/1$	$E_i = 1 \dots 11 \dots \frac{kg}{cm^2}$	(Das, 1994) & (Bawelse, 1988) 1 $\leq \epsilon_i \leq$ (Rezaei et al. 2007)
$\mu = 1/10 \rightarrow 1/10$	$E_i = 1 \dots 10 \dots \frac{kg}{cm^2}$	1 $\leq \epsilon_i \leq$
$\mu = 1/2 \rightarrow 1/2$	$E_i = 1 \dots 9 \dots \frac{kg}{cm^2}$	1 $\leq \epsilon_i \leq$
$\mu = 1/10 \rightarrow 1/10$	$E_i = 1 \dots 9 \dots \frac{kg}{cm^2}$	1 $\leq \epsilon_i \leq$
$\mu = 1/1 \rightarrow 1/1$	$E_i = 1 \dots 9 \dots \frac{kg}{cm^2}$	1 $\leq \epsilon_i \leq$
$\mu = 1/10 \rightarrow 1/10$	$E_i = 1 \dots 9 \dots \frac{kg}{cm^2}$	1 $\leq \epsilon_i \leq$

جدول ۶- محدوده میزان نشت آنی در ژرفای ۵-۲ متر برای پیه‌های در پهنای ۱-۶

پهنه	نوع پیه	Es	$\mu$	Iw	ID	B	$\gamma Df$	" $q_{1,1}$ (kg/cm <sup>2</sup> )"	" $q_{1,2}$ (kg/cm <sup>2</sup> )"	" $q_2$ (kg/cm <sup>2</sup> )"	" $q_3$ (kg/cm <sup>2</sup> )"	"Si <sub>1</sub> (cm)"	"Si <sub>2</sub> (cm)"	Si(mm)
1	L/B=2,D/B=2-5 مستطیلی	10	0.15	1.2	0.78	1	0.44	4	6	3.56	5.56	0.33	0.51	3.3-5.1
	L/B=1,D/B=2-5 مریمی	10	0.15	0.82	0.73	1	0.44	4.5	5.5	4.06	5.06	0.24	0.30	2.4-3.0
	L/B=5,D/B=2-5 نواری	10	0.15	1.7	0.86	1	0.44	2.6	3	2.16	2.56	0.31	0.37	3.1-3.7
2	L/B=2,D/B=2-5 مستطیلی	9	0.2	1.2	0.78	1	0.42	3.5	4	3.08	3.58	0.31	0.36	3.1-3.6
	L/B=1,D/B=2-5 مریمی	9	0.2	0.82	0.73	1	0.42	4	4.5	3.58	4.08	0.23	0.26	2.3-3.6
	L/B=5,D/B=2-5 نواری	9	0.2	1.7	0.86	1	0.42	2.3	2.6	1.88	2.18	0.29	0.34	2.9-3.4
3	L/B=2,D/B=2-5 مستطیلی	8	0.25	1.2	0.78	1	0.394	2.5	3.5	2.106	3.106	0.23	0.34	2.3-3.4
	L/B=1,D/B=2-5 مریمی	8	0.25	0.82	0.73	1	0.394	2.5	4	2.106	3.606	0.15	0.25	1.5-2.5
	L/B=5,D/B=2-5 نواری	8	0.25	1.7	0.86	1	0.394	2	2.3	1.606	1.906	0.28	0.33	2.8-3.3
4	L/B=2,D/B=2-5 مستطیلی	6	0.3	1.2	0.78	1	0.37	2	2.5	1.63	2.13	0.23	0.30	2.3-3.0
	L/B=1,D/B=2-5 مریمی	6	0.3	0.82	0.73	1	0.37	2	2.5	1.63	2.13	0.15	0.19	1.5-1.9
	L/B=5,D/B=2-5 نواری	6	0.3	1.7	0.86	1	0.37	1.5	2	1.13	1.63	0.25	0.36	2.5-3.6
5	L/B=2,D/B=2-5 مستطیلی	5	0.35	1.2	0.78	1	0.36	1.5	2	1.14	1.64	0.19	0.27	1.9-2.7
	L/B=1,D/B=2-5 مریمی	5	0.35	0.82	0.73	1	0.36	1.5	2	1.14	1.64	0.12	0.17	1.2-1.7
	L/B=5,D/B=2-5 نواری	5	0.35	1.7	0.86	1	0.36	1	1.5	0.64	1.14	0.16	0.29	1.6-2.9
6	L/B=2,D/B=2-5 مستطیلی	2.5	0.4	1.2	0.78	1	0.34	0.75	1.5	0.41	1.16	0.13	0.36	1.3-3.6
	L/B=1,D/B=2-5 مریمی	2.5	0.4	0.82	0.73	1	0.34	0.75	1.5	0.41	1.16	0.08	0.23	0.8-2.3
	L/B=5,D/B=2-5 نواری	2.5	0.4	1.7	0.86	1	0.34	0.75	1	0.41	0.66	0.20	0.32	2.0-3.2

جدول ۷- محاسبه نشت تعیینی برای پیه مریمی در ژرفای ۵-۲ متری پهنه ۷

نموده	$\gamma$	h	q	"H(cm) (ستبرای لایه)"	"B(m) (عرض پیه)"	"Z(m) (ژرفای پیه)"	Z/B	I	P	$P_1$	c	$c_2$	$\Delta c$	"si(cm) $\Delta c / (1+e)^* H$ "	" $\Sigma si$ (mm)"	" $\mu^* \Sigma si$ (cm)"
1	0.19	3	1	200	2	1	0.5	0.68	0.57	1.25	0.637	0.62	0.017	2.08	31	22
	0.19	5	1	200	2	3	1.5	0.18	0.95	1.13	0.627	0.623	0.004	0.49		
	0.19	7	1	200	2	5	2.5	0.07	1.33	1.4	0.6205	0.618	0.0025	0.31		
	0.19	9	1	200	2	7	3.5	0.03	1.71	1.74	0.615	0.613	0.002	0.25		
2	0.199	3	1	200	2	1	0.5	0.68	0.597	1.277	0.6055	0.588	0.0175	2.18	26	18
	0.199	5	1	200	2	3	1.5	0.18	0.995	1.175	0.594	0.5925	0.0015	0.19		
	0.199	7	1	200	2	5	2.5	0.07	1.393	1.463	0.587	0.586	0.001	0.13		
	0.199	9	1	200	2	7	3.5	0.03	1.791	1.821	0.578	0.5775	0.0005	0.06		
3	0.191	3	1	200	2	1	0.5	0.68	0.573	1.253	0.7325	0.7175	0.015	1.73	23	16
	0.191	5	1	200	2	3	1.5	0.18	0.955	1.135	0.721	0.7185	0.0025	0.29		
	0.191	7	1	200	2	5	2.5	0.07	1.337	1.407	0.7175	0.716	0.0015	0.17		
	0.191	9	1	200	2	7	3.5	0.03	1.719	1.749	0.709	0.708	0.001	0.12		
4	0.195	3	1	200	2	1	0.5	0.68	0.585	1.265	0.629	0.611	0.018	2.21	28	20
	0.195	5	1	200	2	3	1.5	0.18	0.975	1.155	0.616	0.6135	0.0025	0.31		
	0.195	7	1	200	2	5	2.5	0.07	1.365	1.435	0.6125	0.611	0.0015	0.19		
	0.195	9	1	200	2	7	3.5	0.03	1.755	1.785	0.601	0.6	0.001	0.12		

جدول ۸- محاسبه نشت تحکیمی برای پی نواری در ژرفای ۲-۵ متری- پهنه ۶

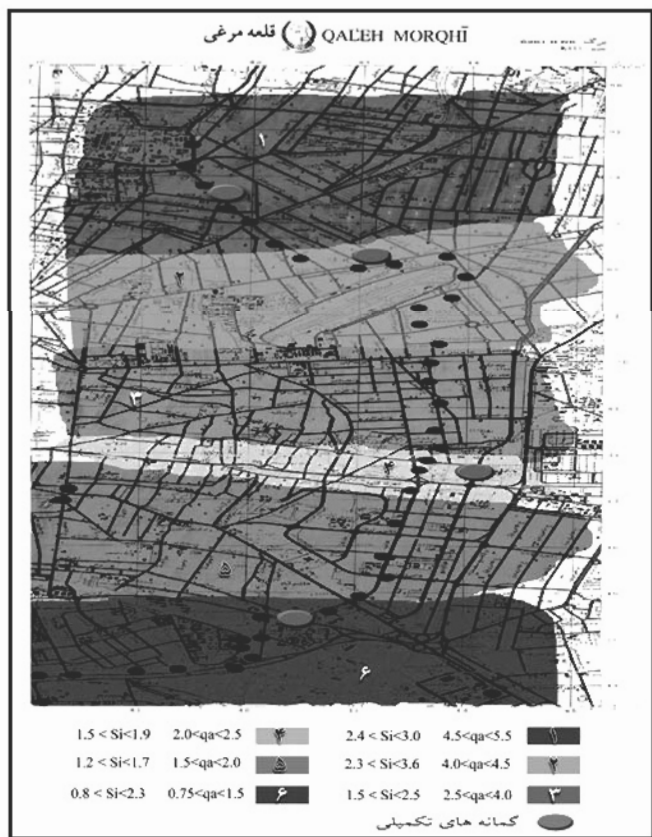
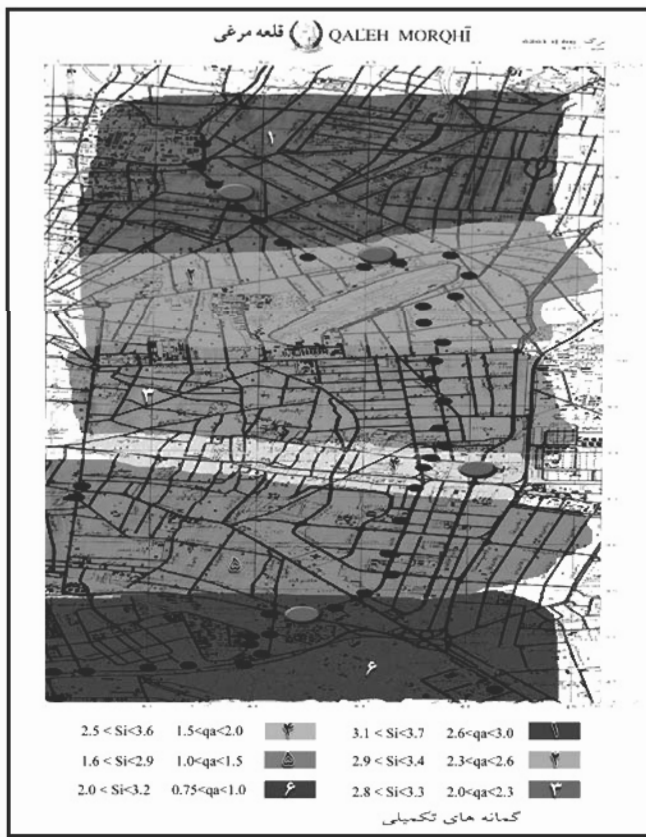
ردیف	$\gamma$	h	q <sub>a</sub>	"H(cm) (ستراحت لایه)"	"B(m) (عرض پیس)"	"Z(m) (ژرفای پیس)"	Z/B	I	P	P <sub>2</sub>	e <sub>1</sub>	e <sub>2</sub>	Δe	"si(cm) Δe/ (1+e)*H"	"Σsi (mm)"	"μ*Σsi (cm)"
1	0.19	3	1	200	2	1	0.5	0.78	0.57	1.35	0.637	0.618	0.019	2.32	41	33
	0.19	5	1	200	2	3	1.5	0.38	0.95	1.33	0.627	0.619	0.008	0.98		
	0.19	7	1	200	2	5	2.5	0.2	1.33	1.53	0.6205	0.617	0.0035	0.43		
	0.19	9	1	200	2	7	3.5	0.13	1.71	1.84	0.615	0.612	0.003	0.37		
2	0.199	3	1	200	2	1	0.5	0.78	0.597	1.377	0.6055	0.5885	0.017	2.12	31	25
	0.199	5	1	200	2	3	1.5	0.38	0.995	1.375	0.594	0.59	0.004	0.50		
	0.199	7	1	200	2	5	2.5	0.2	1.393	1.593	0.587	0.584	0.003	0.38		
	0.199	9	1	200	2	7	3.5	0.13	1.791	1.921	0.578	0.577	0.001	0.13		
3	0.191	3	1	200	2	1	0.5	0.78	0.573	1.353	0.7325	0.715	0.0175	2.02	34	27
	0.191	5	1	200	2	3	1.5	0.38	0.955	1.335	0.721	0.7155	0.0055	0.64		
	0.191	7	1	200	2	5	2.5	0.2	1.337	1.537	0.7175	0.713	0.0045	0.52		
	0.191	9	1	200	2	7	3.5	0.13	1.719	1.849	0.709	0.707	0.002	0.23		
4	0.195	3	1	200	2	1	0.5	0.78	0.585	1.365	0.629	0.61	0.019	2.33	42	34
	0.195	5	1	200	2	3	1.5	0.38	0.975	1.355	0.616	0.6095	0.0065	0.80		
	0.195	7	1	200	2	5	2.5	0.2	1.365	1.565	0.6125	0.607	0.0055	0.68		
	0.195	9	1	200	2	7	3.5	0.13	1.755	1.885	0.601	0.598	0.003	0.37		

جدول ۹- محاسبه نشت تحکیمی برای پی مریعی در ژرفای ۱-۵ متری- پهنه ۶

ردیف	$\gamma$	h	q <sub>a</sub>	"H(cm) (ستراحت لایه)"	"B(m) (عرض پیس)"	"Z(m) (ژرفای پیس)"	Z/B	I	P	P <sub>2</sub>	e <sub>1</sub>	e <sub>2</sub>	Δe	"si(cm) Δe/ (1+e)*H"	"Σsi (mm)"	"μ*Σsi (cm)"
1	0.193	6	1.5	200	2	1	0.5	0.68	1.158	2.178	0.7025	0.682	0.0205	2.41	42	29
	0.193	8	1.5	200	2	3	1.5	0.18	1.544	1.814	0.696	0.6875	0.0085	1.00		
	0.193	10	1.5	200	2	5	2.5	0.07	1.93	2.035	0.6855	0.6822	0.0033	0.39		
	0.193	12	1.5	200	2	7	3.5	0.03	2.316	2.361	0.682	0.679	0.003	0.36		
2	0.187	6	1.5	200	2	1	0.5	0.68	1.122	2.142	0.684	0.667	0.017	2.02	30	21
	0.187	8	1.5	200	2	3	1.5	0.18	1.496	1.766	0.677	0.6725	0.0045	0.54		
	0.187	10	1.5	200	2	5	2.5	0.07	1.87	1.975	0.67	0.668	0.002	0.24		
	0.187	12	1.5	200	2	7	3.5	0.03	2.244	2.289	0.665	0.6635	0.0015	0.18		
3	0.192	6	1.5	200	2	1	0.5	0.68	1.152	2.172	0.7085	0.697	0.0115	1.35	19	13
	0.192	8	1.5	200	2	3	1.5	0.18	1.536	1.806	0.704	0.7	0.004	0.47		
	0.192	10	1.5	200	2	5	2.5	0.07	1.92	2.025	0.6985	0.698	0.0005	0.06		
	0.192	12	1.5	200	2	7	3.5	0.03	2.304	2.349	0.6965	0.6961	0.0004	0.05		
4	0.198	6	1.5	200	2	1	0.5	0.68	1.188	2.208	0.53	0.511	0.019	2.48	33	23
	0.198	8	1.5	200	2	3	1.5	0.18	1.584	1.854	0.5225	0.5175	0.005	0.66		
	0.198	10	1.5	200	2	5	2.5	0.07	1.98	2.085	0.513	0.5125	0.0005	0.07		
	0.198	12	1.5	200	2	7	3.5	0.03	2.376	2.421	0.509	0.508	0.001	0.13		
5	0.191	6	1.5	200	2	1	0.5	0.68	1.146	2.166	0.636	0.618	0.018	2.20	34	24
	0.191	8	1.5	200	2	3	1.5	0.18	1.528	1.798	0.6295	0.623	0.0065	0.80		
	0.191	10	1.5	200	2	5	2.5	0.07	1.91	2.015	0.622	0.62	0.002	0.25		
	0.191	12	1.5	200	2	7	3.5	0.03	2.292	2.337	0.616	0.615	0.001	0.123762376		

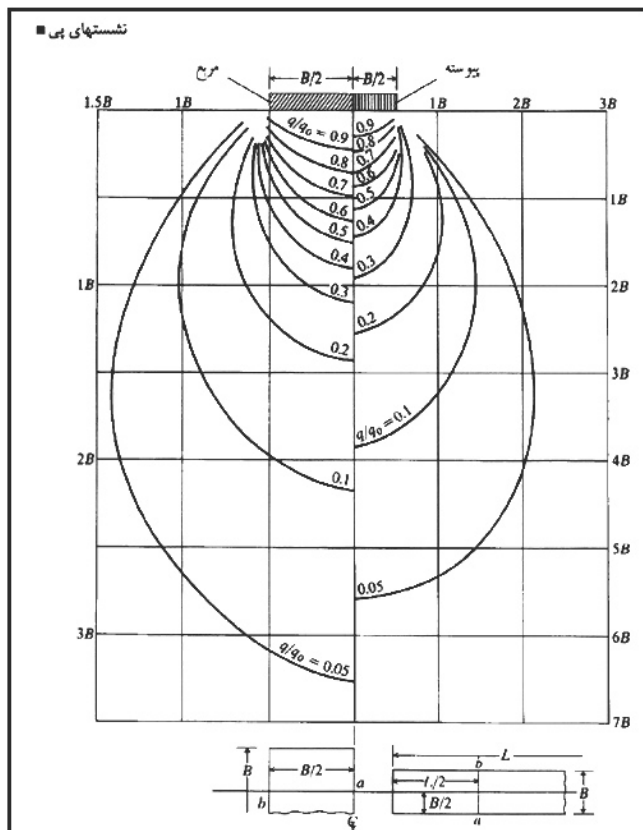
جدول ۱۰- محاسبه نشت تحکیمی برای پی نواری در ژرفای ۵-۱۰ متری-پهنه ۶

" $\gamma$ "	" $h$ "	" $q_a$ "	"H(cm)" "ستیرای لایه"	"B(m)" "عرض پی"	"Z(m)" "زدفاکی پی"	Z/B	I	$P_1$	$P_2$	$e_1$	$e_2$	$\Delta e$	" $si(cm)$ " $\Delta e/(1+e_1)*H$	" $\Sigma si$ " ("mm")	" $\mu*\Sigma si$ " ("cm")	
1	0.193	6	1.5	200	2	1	0.5	0.78	1.158	2.328	0.7025	0.679	0.0235	2.760646109	61	49
	0.193	8	1.5	200	2	3	1.5	0.38	1.544	2.114	0.696	0.6815	0.0145	1.70990566		
	0.193	10	1.5	200	2	5	2.5	0.2	1.93	2.23	0.6855	0.6785	0.007	0.830614061		
	0.193	12	1.5	200	2	7	3.5	0.13	2.316	2.511	0.682	0.6755	0.0065	0.772889417		
2	0.187	6	1.5	200	2	1	0.5	0.78	1.122	2.292	0.684	0.6625	0.0215	2.553444181	48	38
	0.187	8	1.5	200	2	3	1.5	0.38	1.496	2.066	0.677	0.6675	0.0095	1.132975552		
	0.187	10	1.5	200	2	5	2.5	0.2	1.87	2.17	0.67	0.664	0.006	0.718562874		
	0.187	12	1.5	200	2	7	3.5	0.13	2.244	2.439	0.665	0.662	0.003	0.36036036		
3	0.192	6	1.5	200	2	1	0.5	0.78	1.152	2.322	0.7085	0.696	0.0125	1.463271876	28	23
	0.192	8	1.5	200	2	3	1.5	0.38	1.536	2.106	0.704	0.697	0.007	0.821596244		
	0.192	10	1.5	200	2	5	2.5	0.2	1.92	2.22	0.6985	0.696	0.0025	0.294377392		
	0.192	12	1.5	200	2	7	3.5	0.13	2.304	2.499	0.6965	0.6945	0.002	0.235779546		
4	0.198	6	1.5	200	2	1	0.5	0.78	1.188	2.358	0.53	0.509	0.021	2.745098039	49	39
	0.198	8	1.5	200	2	3	1.5	0.38	1.584	2.154	0.5225	0.512	0.0105	1.379310345		
	0.198	10	1.5	200	2	5	2.5	0.2	1.98	2.28	0.513	0.509	0.004	0.528750826		
	0.198	12	1.5	200	2	7	3.5	0.13	2.376	2.571	0.509	0.5075	0.0015	0.198807157		
5	0.191	6	1.5	200	2	9	0.5	0.78	1.146	2.316	0.636	0.616	0.02	2.444987775	45	36
	0.191	8	1.5	200	2	11	1.5	0.38	1.528	2.098	0.6295	0.619	0.0105	1.288738877		
	0.191	10	1.5	200	2	13	2.5	0.2	1.91	2.21	0.622	0.618	0.004	0.493218249		
	0.191	12	1.5	200	2	15	3.5	0.13	2.292	2.487	0.616	0.614	0.002	0.247524752		



شکل ۳- پهنه بندی طریقت باربری و میزان نشت در منطقه خاور و جنوب خاور تهران در ژرفای ۵-۱۰ متری برای پی نواری (Rezaei et al., 2007)

شکل ۴- پهنه بندی طریقت باربری و میزان نشت در منطقه خاور و جنوب خاور تهران در ژرفای ۵-۱۰ متری برای پی مربعی (Rezaei et al., 2007)



شکل ۵ - خطوط هم‌شار

### تکاپنگاری

رضابی، ف.، ۱۳۸۲-۱۳۸۳- نگرشی بر مسائل ژئوتکنیک استان گیلان، طرح‌های تحقیقاتی، پژوهشکده علوم زمین.

سازمان جغرافیایی ارتش، ۱۳۸۵- نقشه توپوگرافی برگ قلعه مرغی مقیاس ۱:۲۵۰۰۰

عیوضی، م.، ۱۳۸۶- مطالعه نشت و ظرفیت باربری شرق و جنوب شرق تهران، پایان نامه کارشناسی ارشد زمین‌شناسی مهندسی، دانشگاه آزاد، واحد حلوم و تحقیقات.

فاطمی عقد، س. م.، ۱۳۶۸- بررسی‌های زمین‌شناسی و ژئوتکنیکی نهشته‌های کواترنری دشت خوزستان، پایان نامه کارشناسی ارشد زمین‌شناسی مهندسی، دانشگاه تربیت مدرس.

گزارش تحقیقات و مطالعات مکانیک خاک و ژئوتکنیک، ۱۳۷۹- آزمایشگاه فنی و مکانیک خاک وزات راه و ترابری استان تهران.

مرادی هرمیشی، گ.، ۱۳۷۹- بررسی ویژگی‌های زمین‌شناسی مهندسی نهشته‌های کواترنری جنوب شرق تهران (دشت ورامین)، پایان نامه کارشناسی ارشد زمین‌شناسی مهندسی، دانشگاه تربیت مدرس.

معظمی، س.م.، ۱۳۷۰- واکنش آبرفت‌های دشت تهران در برابر حفر تونل‌های کم‌زرف، پایان نامه کارشناسی ارشد، دانشگاه معدن، دانشگاه امیر کبیر.

ملکی، م.، ۱۳۸۱- بررسی ویژگی‌های زمین‌شناسی مهندسی شهری و تبیه نشانه‌های ژئوتکنیکی نهشته‌های کواترنری تهران، پایان نامه کارشناسی ارشد، دانشگاه علوم، دانشگاه تربیت معلم.

موحدی، ا.، ۱۳۸۰- بررسی ویژگی‌های زمین‌شناسی مهندسی نهشته‌های کواترنری در محدوده مرکزی تهران، پایان نامه کارشناسی ارشد زمین‌شناسی مهندسی، دانشگاه علوم، دانشگاه تربیت مدرس.

### References

- Bowles, J., 1988- "foundation analysis and design"
- Budhu , M., 1989- Soil Mechanic and Foundation John Wiley Sons INC.
- Das, B.M., 1994 - Advanced soil mechanics- (University of Tehran press).
- Memarian, H., 1998- "Engineering Geological Considerations For site Selection of New Cities in Iran.
- Meyerhof, G.G., 1963- Some recent research on the bearing capacity of foundations. Canadian Geotechnical Journal, vol. 1, 16-26.

# Comparing Fractures in a Unique Structural Setting of an Oilfield, Acquired from FMI

**F. Khoshbakht<sup>1\*</sup>, H. Memarian<sup>2</sup> and M. Mohammadnia<sup>1</sup>**

<sup>1</sup> Research Institute of Petroleum Industry (RIPI), Tehran, Iran.

<sup>2</sup> Mining Department, Faculty of Engineering, University of Tehran, Tehran, Iran

Received: 2007 May 12      Accepted: 2008 September 23

## Abstract

Natural fractures are the main factor which control hydraulic behavior of oil and gas reservoir in naturally fractured reservoirs. Thus it is important to fully characterize these features in fractured reservoirs. Image logs are one of powerful tools in fracture study in wells. Image log is high resolution “pseudo picture” of borehole wall which records properties of fractures. In present study, FMI (Formation Micro Scanner) of two wells located in the same structural setting of a naturally fractured carbonate are considered. Well A and B drilled through three formations (Asmari, Pabdeh and Gurpi) and fracture data of these formations were acquired from these wells. Both wells located in the same structural setting near each other. We compared fractures of each formation in well A with well B to find out similarity and dissimilarity of fractures occur in the same formation in different wells. This study shows that density and orientation of bedding planes of well A is completely similar to well B. Density of open fractures of well A is totally different from well B but orientations of open fractures are same in two wells. Density and orientation of filled fractures of well A are similar to well B. Pattern of fractures of Asmari and Pabdeh formations are similar but in Gurpi fractures are different. Comparison of density of bedding planes and fractures show that high fracture frequency occurred in the thin beds, for example FMI show that laminar intervals of Pabdeh coincide with highly fractured intervals.

**Keywords:** Image Log, Open and Filled Fracture, Orientation, Density of fracture, Formation.

For Persian Version see pages 65 to 70

\*Corresponding author: F. Khoshbakht; E-mail: Khoshbakht@ripi.ir

# Investigation of Plate Bearing and Settlement in South-Eastern and East Tehran

**F. Rezaei<sup>1\*</sup> & M. Eivazi<sup>2</sup>**

<sup>1</sup> Research Institute for Earth Sciences, Geological Survey of Iran, Tehran, Iran.

<sup>2</sup> Soil Mechanics Laboratory of the Ministry of Road and Transportation, Tehran, Iran

Received: 2007 September 12      Accepted: 2008 April 05

## Abstract

The Tehran city, capital of Iran is located on young alluvium deposits which mostly cover due to rapid urban development. This urban development without proper geotechnical and geological assessment may cause great engineering and economic problems. Survey of geotechnical problems are one of the most important issue that consider for building important structures. Most of constructions are based on the ground. Hence the Examination and recognition of physical and mechanical properties of soil layers are so necessary. Present research aims to determine stability parameters, plat bearing and amount of foundation settlement in East and South-Eastern of Tehran in Ghalemorghi area. For this specific zones have been identified, among them, first, second and third zones have middle ( $2 < q_a < 3$ ), good ( $3 < q_a < 4$ ) and very good ( $4 < q_a < 6$ ) stability (bearing conditions). 4<sup>th</sup> and 5<sup>th</sup> zones show low ( $1 < q_a < 2$ ) and middle ( $2 < q_a < 3$ ) bearing condition. The 6<sup>th</sup> area has low ( $1 < q_a < 2$ ) and very low ( $0 < q_a < 1$ ) stability conditions. In a general view soil density decrease from north to south due to gradual change of sand and gravel deposits to clay deposit and with depth it increase. The amount of immediate settlement also decreases with depth. (Rezaei, Adib & Eivazi, 2007). Comparison between old and new researches show that in new researches, amount of plat bearing is more and amount of settlement less than old researches in surface layers (0-5 m), but there aren't any important changes in amount of plat bearing and settlement in deeper layers. We think increase in amount of plate bearing, and decrease in amount of settlement in surface layers have

been caused by increasing and accumulation of constructions, and also increase of traffic in duration years. The further studies show that effect of loading decrease with depth. Amount of stability and settlement in each zone have important role to design and select the kind of foundation and lay out depth.

**Key words:** Zoning, Plat bearing, Settlement, Stability Parameters

For Persian Version see pages 71 to 78

\*Corresponding author: F. Rezaei; E-mail: rezaie8@yahoo.com

## Petrography, Tectonic Setting and Genesis of Oligocene – Miocene Igneous Rocks in Northern Part of Razan Area

R. Mohammadi<sup>1\*</sup>, M.H., Emami<sup>2</sup> and M. Vosoghiabedini<sup>3</sup>

<sup>1</sup> Faculty of Basic Sciences, Ashtian Branch, Azad University, Tehran, Iran

<sup>2</sup> Research Institute for Earth Sciences, Geological Survey of Iran, Tehran, Iran.

<sup>3</sup> Faculty of Earth Sciences, Shahid Beheshti University, Tehran, Iran

Received: 2006 November 14      Accepted: 2009 February 25

### Abstract

The area is located about 230 km of southwest of Tehran. Based of geological observations, the plutonic rocks in the area consist of Neogene (Miocene) alkaline gabbro, gabbrodiorite, locogabbro and diabase. The Oligo - Miocene calc-alkaline extrusive rocks are dacite - ryodacite, andesite trachyandesite, hornblendandesite, basaltic andesite and trachybasalt. Studing on isotopic analyses of Nd and Sr indicate that surveyed area were contaminated with crustal rocks of Sialic composition. In isotopy geochemical studies, The Andesite samples are plotted in the limit of BSE; however, it seems that mantling rocks besides being settled in crust (esp. the upper continental crust) have been contaminated with in. The combination of BSE towards enrichment, from the proportion of  $^{87}\text{Sr}/^{86}\text{Sr}$  has shifted; a sample of rocks shows this position. Spider diagrams related to trace elements of plutonic samples which are used for identifying the tectonic setting show intrusives are in the extensive regime; while the lavas don't have a steady trend and are similar to subduction zones. This shows that the intrusives of the the investigated area are different genesis from the southern volcanic rocks.

**Key words:** Magmatic Genesis, Isotopic Geochemistry, Avaj, Razan, Magmatic contamination, Volcanic Rocks, Plutonic rocks

For Persian Version see pages 79 to 88

\*Corresponding author: R. Mohammadi; E-mail: mohammadi\_geo@yahoo.com

## Mineralogy Studies of Mehdiabad Zinc-Lead Deposit- Yazd, Central Iran

M. Ghasemi<sup>1\*</sup>, M. Momenzadeh<sup>1</sup>, A. Yaghoubpur<sup>2</sup>, A. A. Mirshokraei<sup>3</sup>

<sup>1</sup> Geological Survey of Iran, Tehran, Iran.

<sup>2</sup> Tarbiat- Moalem University, Science Faculty, Tehran, Iran.

<sup>3</sup> Itok Engineering Company, Tehran, Iran.

Received: 2007 July 24      Accepted: 2008 February 25

### Abstract

Mehdiabad Zn-Pb-Ba deposit is located 110 km south-east of Yazd, in the Central Iran structural zone. The stratigraphic succession consists of three sedimentary formations of lower Cretaceous age. The Sangestan formation, the lowest unit of shale and siltstone with calcarenitic interbeded layers. This unit is overlain by ankeritic massive dolomite and dolomitic limestone of Taft formation. The Abkouh formation at the top is composed of cherty or clayey limestone with conglomeritic intercalation, lenses of massive reef limestone and calcareous shale. The structure of ore body shows a half-graben with a vast N-S syn form being complicated by the presence of poly phase faults. The main normal